

การคาร์บอนไนซ์ของถ่านหินในฟลูอิดไคซ์เบด



นาย วิเชียร ตรงจิตธรรม

ศูนย์วิทยุทรัพยากร
จุฬาลงกรณ์มหาวิทยาลัย

วิทยานิพนธ์นี้เป็นส่วนหนึ่งของการศึกษาตามหลักสูตรปริญญาวิทยาศาสตรมหาบัณฑิต

ภาควิชาเคมีเทคนิค

บัณฑิตวิทยาลัย จุฬาลงกรณ์มหาวิทยาลัย

พ.ศ. 2532

ISBN 974-576-289-1

ลิขสิทธิ์ของบัณฑิตวิทยาลัย จุฬาลงกรณ์มหาวิทยาลัย

015924

Carbonization of Coal in Fluidized Bed

Mr. Vichein Trongchittham

A Thesis Submitted in Partial Fulfillment of the Requirements
for the Degree of Master of Science
Department of Chemical Technology
Graduate School
Chulalongkorn University

1989

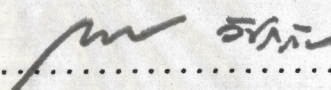
ISBN 974-576-289-1

หัวข้อวิทยานิพนธ์
โดย
ภาควิชา
อาจารย์ที่ปรึกษา
อาจารย์ที่ปรึกษาร่วม

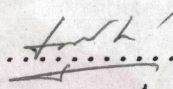
การคาร์บอนไนซ์ของถ่านหินในฟลูอิโดซ์เบด
นายวิเชียร ตรงจิตธรรม
ภาควิชาเคมีเทคนิค
ศ.ดร.สมศักดิ์ คำรงค์เลิศ
รศ.กัญญา บุญเกียรติ

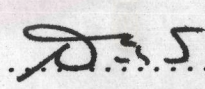


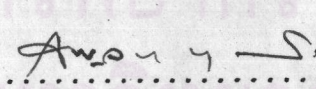
บัณฑิตวิทยาลัย จุฬาลงกรณ์มหาวิทยาลัย อนุมัติให้บัณฑิตวิทยาลัยนี้เป็นส่วนหนึ่งของการศึกษาตามหลักสูตรปริญญาวิทยาศาสตรบัณฑิต

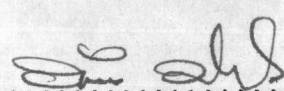

..... คณะบดีบัณฑิตวิทยาลัย
(ศาสตราจารย์ ดร.ถาวร วัชรากัย)

คณะกรรมการสอบวิทยานิพนธ์


..... ประธานกรรมการ
(รองศาสตราจารย์ ดร.ชูชาติ บารมี)


..... อาจารย์ที่ปรึกษา
(ศาสตราจารย์ ดร.สมศักดิ์ คำรงค์เลิศ)


..... อาจารย์ที่ปรึกษาร่วม
(รองศาสตราจารย์ กัญญา บุญเกียรติ)


..... กรรมการ
(รองศาสตราจารย์ ดร.ภัทรพรหม ประศาสน์สารกิจ)

วิเชียร ตรงจิตธรรม : การคาร์บอนไนซ์ของถ่านหินในฟลูอิไดซ์เบด
(CABONIZATION OF COAL IN FLUIDIZED BED) อ.ที่ปรึกษา :

ศ.ดร.สมศักดิ์ ดำรงค์เลิศ, อ.ที่ปรึกษาร่วม : รศ.กัญจนา บุญเกียรติ, 104 หน้า

ถ่านหินได้จากแหล่งเหมืองบ้านปู อ.สี จ.ลำพูน เป็นวัตถุดิบ โดยบดและแยกขนาดเป็น 4 ช่วง
ขนาดคือ 0.5-1.0, 1.0-2.0, 2.0-4.0 และ 4.0-6.0 มิลลิเมตร การทดลองแบ่งเป็น 2 ตอน
กล่าวคือ ตอนแรกคาร์บอนไนซ์ในรีaktorมาตรฐานแบบพิซเซอร์ ที่อุณหภูมิ 250, 325, 400, 475, 550
และ 600 องศาเซลเซียส อัตราการเพิ่มความร้อน 5 องศาเซลเซียสต่อนาที พบว่า ที่อุณหภูมิ 600
องศาเซลเซียส ได้ผลิตก๊าซที่เป็นถ่านชาร์ร้อยละ 53.0 ผลิตภัณฑ์ของน้ำมันทาร์ร้อยละ 3.4 และก๊าซมี
ปริมาตร 15.6 ลิตร ตอนที่สองคาร์บอนไนซ์ในฟลูอิไดซ์เบดที่อุณหภูมิ 325, 400, 475, 550 และ 600
องศาเซลเซียส อัตราการเพิ่มความร้อน 5 องศาเซลเซียสต่อนาที พบว่าที่อุณหภูมิ 600 องศาเซลเซียส
ได้ผลิตก๊าซที่เป็นถ่านชาร์ร้อยละ 51.0 และผลิตภัณฑ์ของน้ำมันทาร์ร้อยละ 0.3 ผลิตภัณฑ์ถ่านชาร์มีปริมาณ
คาร์บอนคงตัวร้อยละ 65.8 ค่าสารระเหยร้อยละ 17.6 เก้าร้อยละ 16.5 และค่าความร้อน 6,457
แคลอรีต่อกรัม ผลิตภัณฑ์น้ำมันทาร์ประกอบด้วยสัดส่วนของไฮโดรคาร์บอนอิ่มตัว 0.3081 ไฮโดรคาร์บอน
ไม่อิ่มตัว 0.3051 และวงแหวนอะโรมาติก 0.3868 ก๊าซที่ได้จากการวิเคราะห์มีก๊าซ มีเทน คาร์บอน
ไดออกไซด์และออกซิเจน

ศูนย์วิทยพัชร์พยากร
จุฬาลงกรณ์มหาวิทยาลัย

ภาควิชา เคมีเทคนิค
สาขาวิชา เคมีเทคนิค
ปีการศึกษา 2531

ลายมือชื่อนิติต วิเชียร ตรงจิตธรรม
ลายมือชื่ออาจารย์ที่ปรึกษา 0.55



VICHEIN TRONGCHITTHAM : CARBONIZATION OF COAL IN FLUIDIZED BED
THESIS ADVISOR : PROF. SOMSAK DAMRONGLERD, Ph.D., THESIS COADVISOR :
ASSO. PROF. KUNCHANA BUNYAKIAT, 104 PP.

Raw coal samples recieved from Ban Poo Mine, Lampoon province were crushed and prepared into four particle size ranges (0.5-1.0 mm., 1.0-2.0 mm., 2.0-4.0 mm. and 4.0-6.0 mm.). The experiments were devided in two parts. In part one, it was carbonized in a Modified Fischer Assay retort at final temperatures 250-600 °C with a heating rate of 5 °C/min. The result showed that the yield of char was 53.0 (%W), tar oil 3.4 (%W) and gas 15.6 lits at 600 °C. In part two , it was carbonized in a fluidized bed reactor at 325-600 °C at the same heating rate. The result showed that the yield of char was 51.0 (%W) with 0.3 (%W) tar oil at 600 °C. The proximate analysis of char were fixed carbon 65.8 %, volatile matter 17.6 %, ash content 16.5 % and calorific value 6,457 cal/g at 600 °C. Coal tar consisted of saturated hydrocarbon : unsaturated hydrocarbon : aromatics in the order 0.3081 : 0.3051 : 0.3868. Noncondensable gases from carbonization in fluidized bed composed of methane, carbondioxide and oxygen.

ศูนย์วิทยพัชยากร
จุฬาลงกรณ์มหาวิทยาลัย

ภาควิชา เคมีเทคนิค
สาขาวิชา เคมีเทคนิค
ปีการศึกษา 2531

ลายมือชื่อนิติต วิจิตร ตรงจิตรธรรม
ลายมือชื่ออาจารย์ที่ปรึกษา ส.ส
.....



กิตติกรรมประกาศ

ข้าพเจ้าขอแสดงความขอบพระคุณอย่างสูงต่อ ศาสตราจารย์ ดร. สมศักดิ์ ดำรงค์เลิศ ซึ่งเป็นอาจารย์ที่ปรึกษาและรองศาสตราจารย์ กัญจนา บุญเกียรติ อาจารย์ที่ปรึกษาร่วมที่กรุณาให้คำปรึกษาแนะนำทางด้านวิชาการและได้ให้ความช่วยเหลือเรื่องทุนสนับสนุนการวิจัย ตลอดจนให้ความเอื้อเฟื้อในการใช้วัสดุอุปกรณ์ในการวิจัยและห้องปฏิบัติการ

ขอขอบพระคุณ อาจารย์ ดร. ทรายพงษ์ วิจิตตานต์ ที่กรุณาให้ความเอื้อเฟื้ออุปกรณ์และคำปรึกษาในงานวิจัย

ขอขอบพระคุณ คุณอมร ชรรมอภิพล บริษัทแพร์ลิกไนท์ จำกัด ที่กรุณาให้ความเอื้อเฟื้อวัสดุที่ใช้ในงานวิจัย

ขอขอบพระคุณเจ้าหน้าที่ ชำราชากร เพื่อน ๆ พี่ ๆ และน้อง ๆ ในภาควิชาเคมีเทคนิค ได้ให้ความช่วยเหลือในงานวิจัย

สุดท้ายนี้ ข้าพเจ้าขอกราบขอบพระคุณ คุณแม่ และรำลึกถึง คุณพ่อ ของข้าพเจ้า ที่คอยให้กำลังใจจนทำให้งานวิจัยนี้สำเร็จลุล่วงไปด้วยดี

ศูนย์วิทยุทรัพยากร
จุฬาลงกรณ์มหาวิทยาลัย



สารบัญ

๗

หน้า

บทคัดย่อภาษาไทย.....	ง
บทคัดย่อภาษาอังกฤษ.....	จ
กิตติกรรมประกาศ.....	ฉ
รายการตารางประกอบ.....	ฅ
รายการรูปประกอบ.....	ฉ
สัญลักษณ์ที่แทนข้อความ.....	ท
บทที่.....	1
1 บทนำ.....	1
2 วารสารปริทัศน์.....	3
2.1 กำนหิน.....	3
2.1.1 แหล่งกำนหินในประเทศไทย.....	5
2.1.2 โครงสร้างทางเคมีของกำนหิน.....	6
2.2 การคาร์บอไนซ์ของกำนหิน.....	7
2.2.1 กระบวนการคาร์บอไนซ์.....	7
2.2.2 การแบ่งชนิดของการคาร์บอไนซ์.....	9
2.2.3 ผลผลิตแร่ที่ได้จากการคาร์บอไนซ์.....	9
2.2.4 กลไกปฏิกิริยาการแตกตัวทางเคมีด้วยความร้อน.....	10
2.2.5 การเปลี่ยนทางกายภาพของกำนหินในระหว่างการคาร์บอไนซ์.....	11
2.2.6 การเปลี่ยนแปลงทางเคมี.....	13
2.3 ปัจจัยของการคาร์บอไนซ์ในฟลูอิดไคซ์เบด.....	14
2.3.1 ประเภทของกำนหิน.....	14
2.3.2 อุณหภูมิ.....	14
2.3.3 อัตราการให้ความร้อน.....	15
2.3.4 ความดัน.....	16
2.3.5 ขนาดของอนุภาค.....	17
2.3.6 เวลาที่อนุภาคอยู่ในเบด.....	17
2.4 ผลงานการวิจัย.....	18
2.4.1 ผลงานวิจัยภายนอกประเทศ.....	18
2.4.2 ผลงานวิจัยภายในประเทศ.....	21

บทที่	หน้า
2.5 ข้อดีและข้อเสียของการใช้เทคนิคฟลูอิดเซชัน.....	24
2.5.1 ข้อดี.....	24
2.5.2 ข้อเสีย.....	24
3 อุปกรณ์และวิธีการทดลอง.....	25
3.1 อุปกรณ์ทดลอง.....	25
3.1.1 อุปกรณ์ที่ใช้ในการทดลองรีทอร์ทมาตรฐานแบบพิชเชอร์.....	25
3.1.2 อุปกรณ์ที่ใช้ในการทดลองแบบฟลูอิดไคซ์เบค.....	26
3.1.3 เครื่องบดถ่านหิน.....	34
3.1.4 เครื่องคัดขนาดถ่านหิน.....	34
3.2 วัตถุประสงค์.....	34
3.3 วิธีการดำเนินการทดลอง.....	35
3.3.1 การคาร์บอนไนซ์ในรีทอร์ทแบบพิชเชอร์.....	35
3.3.2 การคาร์บอนไนซ์ในฟลูอิดไคซ์เบค.....	35
3.4 ระบบการชักและวิเคราะห์ตัวอย่าง.....	36
3.4.1 ถ่านชาร์.....	36
3.4.2 น้ำมันทาร์.....	37
3.4.3 การวิเคราะห์ก๊าซ.....	37
4 ผลการทดลอง.....	38
4.1 ผลการวิเคราะห์คุณสมบัติของถ่านหินที่ใช้ในการทดลอง.....	39
4.2 ผลการทดลองการคาร์บอนไนซ์ถ่านหินในรีทอร์ทแบบพิชเชอร์.....	40
4.2.1 ผลการวิเคราะห์คุณสมบัติของถ่านชาร์ที่ได้จากการคาร์บอนไนซ์.....	44
4.2.2 ผลการวิเคราะห์ส่วนประกอบของน้ำมันทาร์ที่ได้จากการคาร์บอนไนซ์.....	47
4.3 ผลการทดลองการคาร์บอนไนซ์ถ่านหินในแบบฟลูอิดไคซ์เซชัน.....	50
4.3.1 ผลการวิเคราะห์คุณสมบัติของถ่านชาร์ที่ได้จากการคาร์บอนไนซ์.....	52
4.3.2 ผลการวิเคราะห์ส่วนประกอบของน้ำมันทาร์ที่ได้จากการคาร์บอนไนซ์.....	55
4.3.3 ผลการวิเคราะห์องค์ประกอบของก๊าซที่ได้จากการคาร์บอนไนซ์.....	58
5. วิจารณ์ผลการทดลอง.....	59
6. สรุปผลและข้อเสนอแนะ.....	67
เอกสารอ้างอิง.....	71
ภาคผนวก.....	75
ประวัติผู้เขียน.....	104



รายการตารางประกอบ

ตารางที่	หน้า
2.1	แสดงการจำแนกชนิดก้านหินโดยลำดับตาม ASTM D 388.....4
2.2	แสดงอิทธิพลของอัตราการเพิ่มอุณหภูมิต่อปริมาณผลิตภัณฑ์.....16
2.3	แสดงอิทธิพลของความดันต่อปริมาณผลิตภัณฑ์.....16
2.4	แสดงอิทธิพลของช่วงขนาดอนุภาคต่าง ๆ ต่อปริมาณผลิตภัณฑ์.....17
2.5	แสดงปริมาณของผลิตภัณฑ์ที่ได้จากแหล่ง Loy Yang และ Millmerran.....21
2.6	แสดงค่าผลิตภัณฑ์จากการคาร์บอนไนซ์ก้านหินจากแหล่งต่าง ๆ ที่อุณหภูมิ 600 องศาเซลเซียสขนาดอนุภาค 0.5-1.0 มิลลิเมตร.....22
2.7	แสดงค่าปริมาณผลิตภัณฑ์ที่ได้จากการคาร์บอนไนซ์ของก้านหินแหล่งต่าง ๆ ที่อุณหภูมิ 600 องศาเซลเซียสขนาดอนุภาค 0.5-1.0 มิลลิเมตร.....23
4.1	ผลการวิเคราะห์คุณสมบัติของก้านหินในช่วงขนาด 0.5-1.0, 1.0-2.0, 2.0-4.0 และ 4.0-6.0 มิลลิเมตร.....39
6.1	แสดงปริมาณของผลิตภัณฑ์ที่ได้ในระบบรีทอร์ตแบบฟิลเซอร์และระบบฟลูอิโดเซชันที่ อุณหภูมิ 600 องศาเซลเซียส.....67
6.2	แสดงผลการวิเคราะห์ร้อยละแบบประมาณในระบบรีทอร์ตแบบฟิลเซอร์และระบบ ฟลูอิโดเซชันที่อุณหภูมิ 600 องศาเซลเซียส (dry basis).....67
6.3	แสดงปริมาณกลุ่มโครงสร้างต่าง ๆ ในน้ำมันทาร์ที่อุณหภูมิ 600 องศาเซลเซียส...69

ศูนย์วิจัยทรัพยากร
จุฬาลงกรณ์มหาวิทยาลัย



รายการรูปประกอบ

รูปที่	หน้า
2.1	แสดงบริเวณแหล่งถ่านหินในประเทศไทย..... 5
2.2	แสดงโครงสร้างโมเลกุลสมมติของถ่านหิน..... 6
2.3	แสดงลักษณะการแตกสลายของโมเลกุลถ่านหินด้วยความร้อน..... 8
2.4	แสดงขั้นตอนการเกิดถ่านโค้ก..... 12
2.5	แสดงการเกิดปฏิกิริยาปฏุมภูมิและทุติยภูมิของถ่านหินจากการคาร์บอไนซ์..... 15
2.6	แสดงการคาร์บอไนซ์ของถ่านหินในฟลูอิโดซ์เบดของสถาบัน Cerchar..... 18
2.7	แสดงแผนภาพของการคาร์บอไนซ์ถ่านหินแบบฟลูอิโดซ์เบดของ Bowling..... 19
2.8	แสดงกระบวนการคาร์บอไนซ์แบบฟลูอิโดซ์เบดของ Tyler..... 20
3.1	แสดงรีทอร์ทมาตรฐานแบบพิชเซอร์และส่วนประกอบภายใน..... 28
3.2 ก	แสดงอุปกรณ์ที่ใช้ในการคาร์บอไนซ์ในรีทอร์ทแบบพิชเซอร์..... 26
3.2 ข	แสดงแผนภาพการคาร์บอไนซ์ในรีทอร์ทแบบพิชเซอร์..... 27
3.3 ก	แสดงอุปกรณ์ที่ใช้ในการคาร์บอไนซ์แบบฟลูอิโดเซชัน..... 30
3.3 ข	แสดงแผนภาพการคาร์บอไนซ์แบบฟลูอิโดเซชัน..... 31
3.4	แสดงสัดส่วนเตาคาร์บอไนซ์แบบฟลูอิโดซ์เบด..... 32
3.5	แสดงขนาดต่าง ๆ ของอนุภาคถ่านหิน..... 34
4.1	แสดงลักษณะของถ่านหินและถ่านชาร์ น้ำมันทาร์..... 40
4.2	แสดงปริมาณของผลิตภัณฑ์เป็นร้อยละโดยน้ำหนักที่ได้จากการคาร์บอไนซ์ของถ่านหิน ช่วงขนาด 0.5-1.0 มิลลิเมตรกับอนุภูมิต่าง ๆ ในระบบรีทอร์ทแบบพิชเซอร์..... 41
4.3 ก	แสดงความสัมพันธ์ระหว่างปริมาณร้อยละของถ่านชาร์ที่ได้จากการคาร์บอไนซ์ ของถ่านหินช่วงขนาดต่าง ๆ กับอนุภูมิในระบบรีทอร์ทแบบพิชเซอร์..... 42
4.3 ข	แสดงความสัมพันธ์ระหว่างปริมาณร้อยละของน้ำมันทาร์ที่ได้จากการคาร์บอไนซ์ ของถ่านหินช่วงขนาดต่าง ๆ กับอนุภูมิในระบบรีทอร์ทแบบพิชเซอร์..... 42
4.3 ค	แสดงความสัมพันธ์ระหว่างปริมาณของก๊าซที่ได้จากการคาร์บอไนซ์ ของถ่านหินช่วงขนาดต่าง ๆ กับอนุภูมิในระบบรีทอร์ทแบบพิชเซอร์..... 43
4.4	แสดงผลการวิเคราะห์แบบประมาณร้อยละของถ่านชาร์ที่ได้จากการคาร์บอไนซ์ถ่านหิน ช่วงขนาด 0.5-1.0 มิลลิเมตรที่อนุภูมิต่าง ๆ ในระบบรีทอร์ทแบบพิชเซอร์..... 44
4.5 ก	แสดงความสัมพันธ์ระหว่างร้อยละเถ้าของถ่านชาร์ช่วงขนาดต่าง ๆ กับอนุภูมิในระบบรีทอร์ทแบบพิชเซอร์ (dry basis)..... 45

รายการรูปประกอบ

รูปที่	หน้า
4.5 ข แสดงความสัมพันธ์ระหว่างร้อยละสารระเหยของถ่านชาร์ช่วงขนาดต่าง ๆ กับอุณหภูมิในระบบรีทอร์ทแบบพิชเซอร์ (dry basis).....	45
4.5 ค แสดงความสัมพันธ์ระหว่างร้อยละคาร์บอนคงตัวของถ่านชาร์ช่วงขนาดต่าง ๆ กับอุณหภูมิในระบบรีทอร์ทแบบพิชเซอร์ (dry basis).....	46
4.6 แสดงผลการวิเคราะห์กลุ่มโครงสร้างเป็นสัดส่วนโดยน้ำหนักของน้ำมันทาร์จากถ่านหินช่วงขนาด 0.5-1.0 มิลลิเมตรที่อุณหภูมิต่าง ๆ ในระบบรีทอร์ทแบบพิชเซอร์.....	47
4.7 ก แสดงความสัมพันธ์ระหว่างสารไฮโดรคาร์บอนอิ่มตัวเป็นสัดส่วนโดยน้ำหนักของน้ำมันทาร์จากถ่านหินช่วงขนาดต่าง ๆ กับอุณหภูมิในระบบรีทอร์ทแบบพิชเซอร์...	48
4.7 ข แสดงความสัมพันธ์ระหว่างสารไฮโดรคาร์บอนไม่อิ่มตัวเป็นสัดส่วนโดยน้ำหนักของน้ำมันทาร์จากถ่านหินช่วงขนาดต่าง ๆ กับอุณหภูมิในระบบรีทอร์ทแบบพิชเซอร์...	48
4.7 ค แสดงความสัมพันธ์ระหว่างสารวงแหวนอะโรมาติกเป็นสัดส่วนโดยน้ำหนักของน้ำมันทาร์จากถ่านหินช่วงขนาดต่าง ๆ กับอุณหภูมิในระบบรีทอร์ทแบบพิชเซอร์...	49
4.8 แสดงปริมาณของผลิตภัณฑ์เป็นร้อยละโดยน้ำหนักที่ได้จากการคาร์บอนไนซ์ของถ่านหินช่วงขนาด 0.5-1.0 มิลลิเมตรกับอุณหภูมิต่าง ๆ ในระบบฟลูอิโดซ์เบด.....	50
4.9 ก แสดงความสัมพันธ์ระหว่างปริมาณร้อยละของถ่านชาร์ที่ได้จากการคาร์บอนไนซ์ของถ่านหินช่วงขนาดต่าง ๆ กับอุณหภูมิในระบบฟลูอิโดซ์เบด.....	51
4.9 ข แสดงความสัมพันธ์ระหว่างปริมาณร้อยละของน้ำมันทาร์ที่ได้จากการคาร์บอนไนซ์ของถ่านหินช่วงขนาดต่าง ๆ กับอุณหภูมิในระบบฟลูอิโดซ์เบด.....	51
4.10 แสดงผลการวิเคราะห์แบบประมาณร้อยละของถ่านชาร์ที่ได้จากการคาร์บอนไนซ์ถ่านหินช่วงขนาด 0.5-1.0 มิลลิเมตรที่อุณหภูมิต่าง ๆ ในระบบฟลูอิโดซ์เบด.....	52
4.11 ก แสดงความสัมพันธ์ระหว่างร้อยละเถ้าของถ่านชาร์ช่วงขนาดต่าง ๆ กับอุณหภูมิในระบบฟลูอิโดซ์เบด (dry basis).....	53
4.11 ข แสดงความสัมพันธ์ระหว่างร้อยละสารระเหยของถ่านชาร์ช่วงขนาดต่าง ๆ กับอุณหภูมิในระบบฟลูอิโดซ์เบด (dry basis).....	53
4.11 ค แสดงความสัมพันธ์ระหว่างร้อยละคาร์บอนคงตัวของถ่านชาร์ช่วงขนาดต่าง ๆ กับอุณหภูมิในระบบฟลูอิโดซ์เบด (dry basis).....	54
4.12 แสดงผลการวิเคราะห์กลุ่มโครงสร้างเป็นสัดส่วนโดยน้ำหนักของน้ำมันทาร์จากถ่านหินช่วงขนาด 0.5-1.0 มิลลิเมตรที่อุณหภูมิต่าง ๆ ในระบบฟลูอิโดซ์เบด....	55

รายการรูปประกอบ

รูปที่	หน้า
4.13 ก แสดงความสัมพันธ์ระหว่างสารไฮโดรคาร์บอนอิ่มตัวเป็นสัดส่วนโดยน้ำหนักของน้ำมันทาร์จากถ่านหินช่วงขนาดต่าง ๆ กับอนุภูมิภาคในระบบฟลูอิโดรเบค.....	56
4.13 ข แสดงความสัมพันธ์ระหว่างสารไฮโดรคาร์บอนไม่อิ่มตัวเป็นสัดส่วนโดยน้ำหนักของน้ำมันทาร์จากถ่านหินช่วงขนาดต่าง ๆ กับอนุภูมิภาคในระบบฟลูอิโดรเบค....	56
4.13 ค แสดงความสัมพันธ์ระหว่างสารวงแหวนอะโรมาติกเป็นสัดส่วนโดยน้ำหนักของน้ำมันทาร์จากถ่านหินช่วงขนาดต่าง ๆ กับอนุภูมิภาคในระบบฟลูอิโดรเบค.....	57
4.14 แสดงปริมาณของผลิตภัณฑ์เป็นร้อยละ โดยน้ำหนักที่ได้จากการคาร์บอนไนซ์ของถ่านหินช่วงขนาด 0.5-1.0 มิลลิเมตรกับอนุภูมิภาคต่าง ๆ ในฟลูอิโดรเบค.....	58

ศูนย์วิทยทรัพยากร
 จุฬาลงกรณ์มหาวิทยาลัย